

بررسی اثر نقص هندسی ریزساختار در رفتار تک‌محوری فوم‌های سلول باز

سروش جلیوند (دانشجوی کارشناسی ارشد)

دانشکده‌ی مهندسی عمران، دانشگاه صنعتی شریف

شریف شاه‌بیک* (استادیار)

دانشکده‌ی مهندسی عمران و محیط زیست، دانشگاه تربیت مدرس

ابوالحسن وفايي (استاد)

دانشکده‌ی مهندسی عمران، دانشگاه صنعتی شریف

مهندسی عمران شریف، بهار ۱۳۹۳ (۶۱-۵۳-۲)
دربی ۲-۳، شماره ۱/۲، ص. ۵۳-۶۱

امروزه فوم‌ها به‌منزله‌ی نسل جدیدی از مصالح سبک در صنایع خودروسازی و هوافضا مورد توجه قرار گرفته‌اند. در این پژوهش، اثر نقص در هندسه‌ی ریزساختار در رفتار فوم سلول باز مورد مطالعه قرار گرفت. به این منظور، از روش همگن‌سازی، به‌عنوان راهکاری مناسب برای ارتباط ویژگی‌های مکانیکی مواد در مقیاس‌های بزرگ (جسم) و کوچک (ریزساختار) بهره گرفته شد. به این ترتیب که ابتدا با بازتولید یک مدل همگن‌سازی موجود، رفتار تک‌محوری نمونه‌ی فوم با ساختار منظم محاسبه شد. در ادامه، با اعمال آشفتگی در هندسه‌ی ریزساختار، تغییرات خصوصیات تک‌محوری فوم نسبت به حالت منظم مورد بررسی قرار گرفت. نتایج به‌دست آمده، محدوده‌ی تغییر کمیت‌های تک‌محوری فوم را با افزایش آشفتگی در ریزساختار مشخص کرد. همچنین، حالت‌هایی از تغییر هندسه‌ی ریزساختار، که سبب بیشترین تغییرات در کمیت‌های تک‌محوری فوم می‌شوند، شناسایی شدند.

واژگان کلیدی: مدل رفتاری، روش همگن‌سازی، فوم‌های سلول باز، نقص هندسی.

۱. مقدمه

فوم‌های با تخلخل زیاد شامل ۳ ناحیه‌ی ارتجاعی، ناحیه‌ی تنش ثابت و ناحیه‌ی چگالش است^[۱]. نمای عمومی این رفتار در شکل ۱ مشخص شده است. این نمودار تا پایان ناحیه‌ی تنش ثابت (که مورد نظر این پژوهش نیز است) با ۴ کمیت E ، σ_p ، $\Delta\lambda$ و λ_i قابل توصیف است. این کمیت‌ها به ترتیب معرف شیب اولیه‌ی نمودار در ناحیه‌ی ارتجاعی (ثابت یا نگ)، مقدار تنش ثابت، طول ناحیه‌ی تنش ثابت و کرنش آغازین آن است و در شکل ۱ مشخص شده‌اند. در بخش‌های پیش رو، به منظور سادگی، از این کمیت‌ها به‌عنوان ویژگی‌های تک‌محوری فوم یاد می‌شود. استفاده از فوم‌ها در طراحی سازه‌های سبک نیازمند شناخت صحیح خصوصیات مکانیکی این مواد است. همچنین، دستیابی به این خصوصیات بدون در نظر گرفتن ویژگی‌های هندسی این مواد در مقیاس‌های کوچک ممکن نیست. در این راستا، روش‌های همگن‌سازی^۱ با برقراری ارتباط بین خصوصیات ماده در مقیاس کوچک و رفتار آن در مقیاس بزرگ، راهکاری قابل قبول ارائه می‌کنند.^[۲] به‌صورت عمومی، ریزساختار مورد استفاده در این روش‌ها به شکل تناوبی در نظر گرفته می‌شود؛ به این ترتیب، کل ساختار فوم از تکرار یک واحد سازنده‌ی یکسان به نام سلول پایه^۲ پدید می‌آید. سلول پایه به نوبه‌ی خود به صورتی انتخاب می‌شود که ساختار واقعی فوم را شبیه‌سازی کند. در این راستا می‌توان به استفاده از ساختار لانه‌زنبوری در حالت دو-بعدی،^[۳] و سلول ۱۴ وجهی کلون در حالت سه-بعدی،^[۴] اشاره کرد؛

فوم‌های جامد در اصطلاح به مواد با تخلخل بالا گفته می‌شود که در تولید آنها از فرآیند فوم‌زایی بهره می‌برند. در طبقه‌بندی کلی‌تر، فوم‌ها در دسته‌ی مواد سلولی جای می‌گیرند؛ فلسفه‌ی وجودی این مواد رسیدن به خصوصیات مکانیکی دلخواه با صرف کمترین مقدار ماده‌ی ممکن است. ویژگی اصلی فوم‌ها، یعنی نسبت بالای سختی به وزن مخصوص، در صنایع هوافضا و اتمبیل‌سازی به منظور تولید سازه‌های سبک مورد توجه قرار گرفته است. همچنین، به دلیل قابلیت بالای فوم‌ها در جذب انرژی و تحمل تغییر شکل‌های ناسازگار، از آن‌ها به‌عنوان ضربه‌گیر در صنایع بسته‌بندی و در ساخت میراگرهای مکانیکی (مانند سپر اتمبیل و کلاه ایمنی) استفاده می‌شود.^[۱] فوم‌ها معمولاً از جنس پلیمر، فلز و یا سرامیک ساخته و بر اساس شکل ریزساختارشان به دو دسته‌ی کلی فوم‌های سلول‌بسته و سلول‌باز تقسیم می‌شوند. فوم‌های سلول‌باز که موضوع این پژوهش هستند، را می‌توان به‌صورت شبکه‌یی از المان (بال)‌هایی با رفتار شبیه به تیر تصور کرد که در نقاطی به نام رأس به یکدیگر می‌رسند. به‌طور کلی، نمودار تنش-کرنش حاصل از آزمایش تک‌محوری فشاری بر روی

* نویسنده مسئول

تاریخ: دریافت ۱۳۹۰/۲/۲، اصلاحیه ۱۳۹۱/۳/۳۰، پذیرش ۱۳۹۱/۸/۷.

و بزرگی مشترک این دو ساختار پیروی از قوانین حاکم بر تولید فوم‌ها در حالت ایده‌آل است. [۶] در کنار موارد ذکر شده، استفاده از نمودارهای ورونوئی، [۷] به شبیه‌سازی فوم‌هایی که ساختار آن‌ها از حالت ایده‌آل فاصله دارد، می‌انجامد.

در مواردی که هدف از مدل‌سازی، یافتن رابطه‌ی ساختاری فوم در تعداد زیادی از نقاط جسم باشد، تولید ساختار فوم به روش‌هایی که در بالا مطرح شد، اگرچه منجر به بهبود دقت مدل‌سازی می‌شود، هزینه‌ی بالایی به همراه دارد. از این رو، در برخی موارد مشاهده می‌شود که به جای تحلیل ریزساختار واقعی فوم، از ساختارهای ساده‌تر که رفتار آن‌ها پیش‌تر با رفتار فوم معادل‌سازی شده استفاده می‌شود. [۸، ۹] البته طبیعی است که در این دسته روش‌ها، مدل‌سازی به صورت مستقیم به هندسه‌ی ریزساختار فوم وابسته نیست و از این رو امکان بررسی اثر تغییر هندسه‌ی ریزساختار در رفتار آن در مقیاس‌های بزرگ‌تر وجود نخواهد داشت.

روش همگن‌سازی ارائه‌شده در مرجع [۱۰] که پایه‌ی مطالعات انجام‌شده در این پژوهش است؛ با محدودکردن مطالعات خود به دسته‌ی مشخصی از فوم‌های سلول‌باز با ساختار متقارن، در عین حال که رفتار فوم‌ها را به صورت مستقیم به هندسه‌ی ریزساختار آن‌ها وابسته می‌سازد، حجم محاسبات را تا اندازه‌ی قابل قبولی کاهش می‌دهد. در مرجع مورد بحث، نمودار تنش-کرنش همگن‌سازی شده برای فوم ساخته‌شده از سلول‌پایه‌ی ۴ عضوی منظم، که در آن طول و زاویه‌ی بین اعضا برابر باشند، ارائه شده است. همچنین، تأثیر جهت‌گیری سلول‌های پایه نسبت به راستای بارگذاری مورد بررسی قرار گرفته است. علاوه بر این، روش مذکور به منظور بررسی رفتار ویسکوالاستیک و همچنین تسلیم و تخریب فوم‌های سلول‌باز مورد استفاده قرار گرفته است. [۱۱، ۱۲] با وجود این، در همه‌ی این مطالعات ساختار فوم به صورت کاملاً منظم فرض شده است؛ این در حالی است که یکی از مواردی که در طراحی مواد مهندسی همواره باید به آن توجه شود، بررسی اثر عواملی همچون نقص‌های کوچک ایجادشده در هنگام ساخت است، که می‌تواند خصوصیات محصول نهایی را با ماده‌ی طراحی‌شده متفاوت سازد. در اینجا قصد داریم تا در قالب مدل همگن‌سازی ارائه‌شده [۱۰]، اثر وجود چنین نقص‌هایی را بررسی کنیم. به این منظور از نتایج همگن‌سازی موجود [۱۰] (برای سلول پایه‌ی منظم) به عنوان مرجع استفاده می‌کنیم و نحوه‌ی تغییر این خصوصیات با اعمال نقص هندسی را مورد مطالعه قرار می‌دهیم. در این راستا، ابتدا مفاهیم اصلی همگن‌سازی در بخش ۲ بررسی شده‌اند. در بخش ۳، فرضیات اصلی روند همگن‌سازی مورد استفاده در این پژوهش بیان، و جزئیات روابط تحلیلی به‌کاررفته در آن به صورت خلاصه ارائه شده‌اند. در ادامه‌ی این قسمت، مفهوم تنش ماکسول توضیح داده شده است و به کمک آن نمودار تنش-کرنش قطعه‌ی فوم در آزمایش تک‌محوری، بر اساس مدل رفتاری به‌دست‌آمده از همگن‌سازی در بخش قبل پیش‌بینی شده است. در بخش ۴، ابتدا نتایج همگن‌سازی بر روی سلول پایه‌ی ۴ عضوی منظم بازتولید، و سپس، نحوه‌ی اعمال نقص هندسی (به صورت

۲. روش همگن‌سازی

روش همگن‌سازی بر پایه‌ی اصل تفکیک‌پذیری مقیاس‌ها استوار است. [۱۳] اگر این شرط بر جسم ساخته‌شده از ماده‌ی غیرهمگن حاکم باشد، میدان جابجایی جسم (\vec{u}) در عمل به صورت رابطه‌ی ۱ قابل تفکیک خواهد بود:

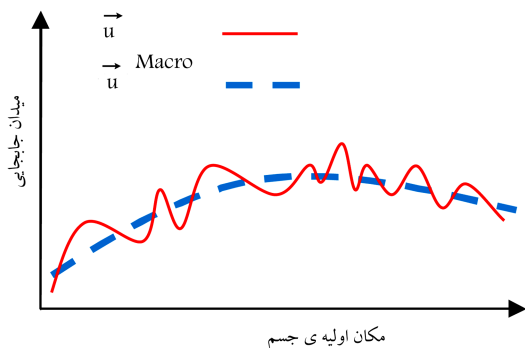
$$\vec{u} = \vec{u}^{Macro} + \vec{w} \quad (1)$$

که در آن، \vec{u}^{Macro} روند کلی جابجایی‌ها را نشان می‌دهد (آن‌طور که در مقیاس جسم مشاهده می‌شود)، و \vec{w} معرف تغییرات کوچک در میدان جابجایی است، که در اثر تغییرشکل‌های موضعی (در اندازه‌ی قابل مقایسه با طول مشخصه‌ی ریزساختار) به وجود می‌آید. شکل ۲، میدان جابجایی تعریف‌شده در رابطه‌ی ۱ را به صورت توصیفی نمایش می‌دهد.

هدف از همگن‌سازی پیدا کردن میدان جابجایی جسم در بزرگ مقیاس (یعنی مقیاسی که در کاربردهای مهندسی اهمیت دارد) است. از این رو، تغییرشکل‌های کوچک ناشی از اثر موضعی ریزساختار (\vec{w}) فقط تا حدی که در رسیدن به این هدف مؤثر هستند، مورد توجه قرار می‌گیرند. به عبارت دیگر، اگرچه در روند همگن‌سازی از جابجایی‌های موضعی ریزساختار (\vec{w}) در محاسبه‌ی میدان جابجایی کلی جسم صرف‌نظر می‌شود، اما همین جابجایی‌ها هنگامی که ارتباط بین تنش و کرنش در برخی نقاط بزرگ مقیاس (مانند نقاط انتگرال‌گیری گاوس در روش المان محدود) مورد نظر است، به دقت مورد بررسی قرار می‌گیرند. به این ترتیب، نتایج به‌دست‌آمده از همگن‌سازی فقط شامل جملات \vec{u}^{Macro} است، و شکل کامل میدان جابجایی (\vec{u}) فقط در محاسبه‌ی پاسخ ریزساختار وارد می‌شود. از آنجا که (\vec{u}) فقط در تحلیل‌های صورت‌گرفته در مقیاس کوچک به کار می‌رود، در ادامه، از نماد \vec{u}^{micro} به جای \vec{u} استفاده شده است.

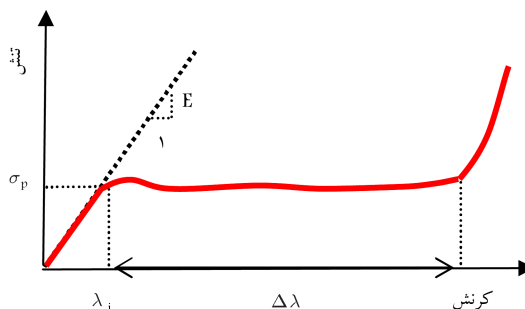
$$u_i^{micro} = u_i^{Macro} + w_i \quad (2)$$

اما پیش از آنکه به جزئیات روش‌های همگن‌سازی پردازیم، لازم است تا ابتدا مفهوم RVE^۲ معرفی شود. RVE در اصطلاح به حجمی از ریزساختار گفته می‌شود

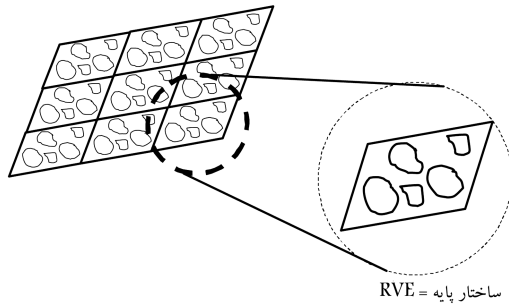


شکل ۲. نمایش میدان جابجایی حقیقی جسم (\vec{u}) و جابجایی‌های به‌دست‌آمده از همگن‌سازی (\vec{u}^{Macro}).

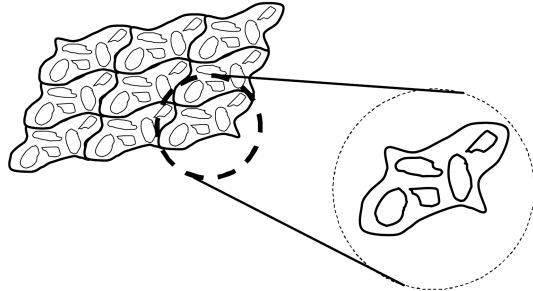
شکل ۱. نمای عمومی نمودار تنش-کرنش تک‌محوری فشاری در فوم‌ها.



شکل ۱. نمای عمومی نمودار تنش-کرنش تک‌محوری فشاری در فوم‌ها.

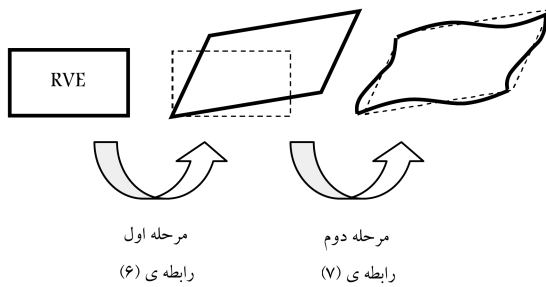


الف) قبل از تغییر شکل؛



ب) پس از تغییر شکل.

شکل ۳. شرط تناوبی بودن هندسه‌ی ریزساختار.



مرحله اول
رابطه ی (۶)

مرحله دوم
رابطه ی (۷)

شکل ۴. روند محاسبه‌ی میدان جابجایی RVE در مراحل اول و دوم همگن‌سازی.

حل مسئله‌ی مقدار مرزی RVE با در نظر گرفتن شرایط مطرح شده در رابطه‌ی ۶ انجام می‌پذیرد. به این منظور از رابطه‌ی انتگرالی تعادل به صورت رابطه‌ی ۷ استفاده می‌شود:

$$\delta \Pi = \delta (U + V) = 0 \quad (7)$$

که در آن δ عملگر حساب تغییرات و U و V به ترتیب برابر انرژی پتانسیل کل، انرژی کرنشی کل و انرژی پتانسیل نیروهای خارجی RVE هستند. با حل رابطه‌ی ۷ و محاسبه‌ی \bar{w} ، میدان جابجایی RVE و در نتیجه نیرو (یا تنش)های ایجاد شده در آن به صورت کامل مشخص می‌شوند. شکل ۴، روند عمومی محاسبه‌ی میدان جابجایی RVE در مراحل اول و دوم را نمایش می‌دهد.

در مرحله‌ی نهایی همگن‌سازی پاسخ‌های به دست آمده از تحلیل ریزساختار از طریق برآیندگیری در قالب تنش بزرگ مقیاس (P_{ji}^{Macro}) بیان می‌شوند. این کار از طریق رابطه‌ی هیل-مندل، به صورت رابطه‌ی ۸ انجام می‌پذیرد:

$$P_{ji}^{Macro} \delta F_{ij}^{Macro} = \delta U^{Macro} = \frac{1}{V^{RVE}} \int \int \int_{V^{RVE}} \delta u^{micro} dV \quad (8)$$

که کلیه خصوصیات مادی، هندسی، و رفتاری آن را در بر دارد، و در مطالعات همگن‌سازی به نمایندگی از کل ریزساختار مورد بررسی قرار می‌گیرد. در این ارتباط توجه به این نکته لازم است که انتخاب RVE در حالت کلی با دشواری همراه است، چرا که حجم انتخاب شده باید علاوه بر خصوصیات مادی و هندسی، ویژگی‌های رفتاری ریزساختار را نیز در خود داشته باشد، که البته بررسی مورد اخیر به سادگی انجام نخواهد پذیرفت. با این توضیح، بدیهی است که در حالتی که ریزساختار شکلی تکراری (تناوبی) داشته باشد (یعنی از تکرار یک واحد سازنده‌ی پایه ایجاد شده باشد)، انتخاب‌های ممکن برای RVE باید از یکی (و یا تعداد بیشتر) ساختار پایه به وجود آمده باشند.

با برگشت به رابطه‌ی ۲، اکنون اگر \bar{u}^{Macro} را در درون حجم RVE با بسط سری تیلور آن جایگزین کنیم، رابطه‌ی ۳ را خواهیم داشت:

$$u_i^{Macro} = \frac{\partial u_i^{Macro}}{\partial X_j} X_j = (F_{ij}^{Macro} - \delta_{ij}) X_j \quad (3)$$

که در آن، X_j بردار مکان نقاط مختلف RVE در حالت اولیه است و نسبت به مبدأ مختصات دلخواه تعریف می‌شود. با جایگزینی رابطه‌ی ۳ در رابطه‌ی ۲، بردار مکان نقاط مختلف RVE در وضعیت تغییر شکل یافته (x_i^{micro}) از رابطه‌ی ۴ محاسبه می‌شود:

$$x_i^{micro} = F_{ij}^{Macro} X_j + w_i \quad (4)$$

توجه کنید که در رابطه‌ی اخیر w_i و x_i^{micro} توابعی از مختصات نقاط RVE هستند؛ این در حالی است که F_{ij}^{Macro} در کل حجم RVE ثابت فرض می‌شود. در ادامه و به منظور سهولت، از x_i به جای x_i^{micro} استفاده می‌کنیم (رابطه‌ی ۵):

$$x_i = F_{ij}^{Macro} X_j + w_i \quad (5)$$

به صورت عمومی، همگن‌سازی شامل این مراحل سه‌گانه است: [۱۳]

مرحله‌ی اول. از مقیاس بزرگ به مقیاس کوچک: هدف از این مرحله تصویرکردن میدان جابجایی از بزرگ مقیاس به مقیاس ریزساختار است.

مرحله‌ی دوم. حل مسئله‌ی مقدار مرزی در مقیاس کوچک: در این مرحله پاسخ ریزساختار، از طریق حل مسئله‌ی مقدار مرزی تعریف شده در قسمت قبل، محاسبه می‌شود.

مرحله‌ی سوم. بازگشت از مقیاس کوچک به مقیاس بزرگ: در نهایت، نیروهای به دست آمده از حل ریزساختار با استفاده از روش‌های میانگین‌گیری به صورت تنش (متناظر جابجایی‌ها در بزرگ مقیاس) بیان می‌شوند.

در روش‌های همگن‌سازی مختلف، مرحله‌ی اول از طریق برابر قراردادن گرادینان تغییر شکل در مقیاس جسم (F_{ij}^{Macro}) و میانگین حجمی این کمیت در مقیاس ریزساختار (F_{ij}^{micro}) صورت می‌پذیرد (رابطه‌ی ۶):

$$\frac{1}{V^{RVE}} \int \int \int_{V^{RVE}} F_{ij}^{micro} dV = F_{ij}^{Macro} \quad (6)$$

در این رابطه، V^{RVE} برابر حجم RVE در حالت اولیه است. رابطه‌ی ۶، در کنار فرض تکراری بودن میدان جابجایی ریزساختار در مرزها، شرایط مرزی RVE را به صورت کامل تعیین می‌کند (شکل ۳).

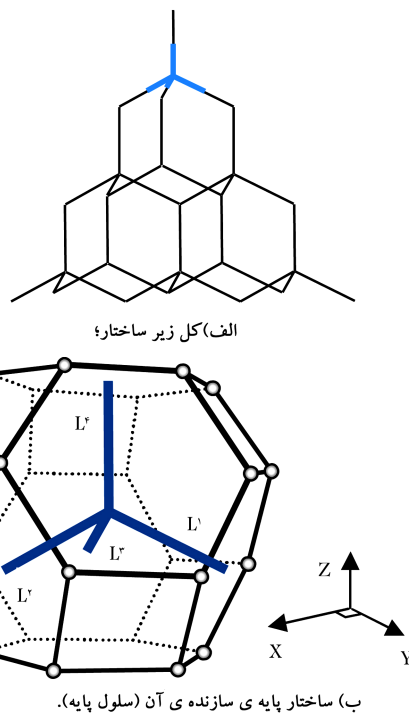
هدف از مرحله‌ی دوم همگن‌سازی تعیین میدان جابجایی موضعی ریزساختار (\bar{w})، و در نتیجه، نیروهای ایجاد شده در حجم RVE است. این کار از طریق

که از برابر قراردادن تغییرات چگالی انرژی کرنشی در بزرگ مقیاس با میانگین حجمی چگالی انرژی کرنشی در مقیاس میکرو حاصل می‌شود. به عبارت دیگر، P_{ji}^{Macro} طوری محاسبه می‌شود که کار داخلی انجام شده روی RVE در دو مقیاس بزرگ و کوچک کمترین اختلاف را داشته باشد.

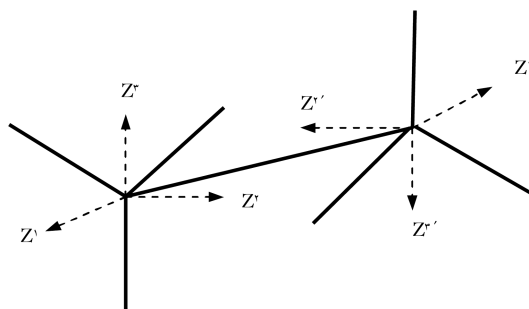
۳. مدل همگن سازی مورد استفاده در این پژوهش

در این پژوهش، از مدل همگن سازی ارائه شده [۱۰] برای مطالعه رفتار فوم های سلول باز استفاده شده است. همان طور که پیش تر نیز گفته شد، ریزساختار مورد استفاده در این مدل از تکرار واحد سازنده یکسانی به نام سلول پایه ساخته شده است. هر سلول پایه شامل یک رأس و نیمی از طول تمام یال هایی است که در رأس به هم می رسند؛ این نیم یال ها، اعضای سلول پایه را تشکیل می دهند (شکل ۵).

نکته قابل توجه در مورد ریزساختار مدل مورد بحث، تقارن نقطه یی سلول های مجاور نسبت به یکدیگر است. به این ترتیب فرض می شود که هر دو سلول پایه ی



شکل ۵. نمایش ریزساختار مورد مطالعه در این پژوهش.



شکل ۶. تقارن نقطه یی سلول های مجاور.

مجاور نسبت به میانه ی یال مشترک خود تقارن نقطه یی داشته باشند. این مطلب برای سلول پایه ی ۴ عضوی در شکل ۶ به نمایش درآمده است. هر یک از اعضای سلول پایه به صورت یک تیر با رفتار محوری و خمشی در نظر گرفته می شود. تغییر شکل محوری به صورت یکنواخت در طول عضو اتفاق می افتد، این در حالی است که تغییر شکل خمشی به صورت متمرکز و در رأس سلول فرض و بر اساس تغییر زاویه ی بین یک عضو با سایر اعضا تعریف می شود. فرض خط باقی ماندن یال ها در طول تغییر شکل توسط پژوهشگران دیگر نیز مورد استفاده قرار گرفته است، [۷] و این طور توجیه می شود که در فوم های سبک تشکیل مفصل خمیری در دو انتهای عضو بر تغییر شکل های خمشی که در طول عضو رخ می دهند، حاکم می شود؛ از این رو، می توان فرض کرد که هر عضو در طول خود فقط تغییر شکل محوری داشته باشد.

در ادامه ی این قسمت، و در بخش ۱.۳، ابتدا به توضیح روابط همگن سازی ارائه شده [۱۰] در قالب مطالب بخش ۲ می پردازیم؛ و سپس، با در دست داشتن نمودار تنش - کرنش همگن سازی شده ی ماده ی فوم، نحوه ی پیدا کردن رفتار تک محوری قطعه ی فوم را توضیح می دهیم.

۱.۳. همگن سازی فوم

مراحل همگن سازی مطرح شده در بخش ۲ در قالب این مدل عبارت اند از: تعیین شرایط مرزی سلول پایه متناسب با تغییر شکل بزرگ مقیاس اعمال شده، محاسبه ی جابجایی رأس سلول پایه (ξ) به عنوان پاسخ ریزساختار، و در انتها، تعیین تنش همگن سازی شده (P_{ji}^{Macro}) از طریق میانگین گیری نیروهای به وجود آمده در اعضا.

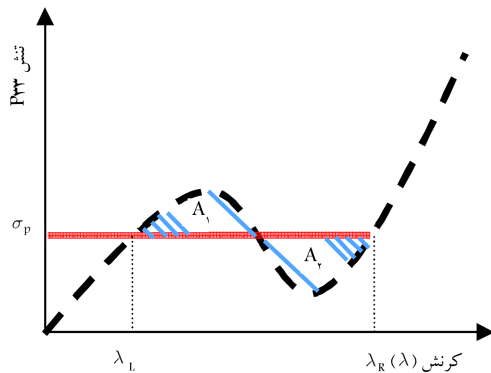
برای شروع، فرض می شود RVE برابر کل حجم ریزساختار در همسایگی نقطه ی بزرگ مقیاس مورد نظر باشد. حال، با استفاده از رابطه ی ۵، که صورت کلی رابطه ی ۶ است (و برای سهولت در اینجا تکرار شده است)، جابجایی های ماکرو بر روی ریزساختار تصویر می شوند (رابطه ی ۹):

$$x_p = F_{pq}^{Macro} X_q + w_p \quad (9)$$

در این مدل، با فرض قرارگیری مبدأ مختصات در محل یکی از رأس ها، و توجه به این نکته که اعضا (یا یال ها) همواره در طول تغییر شکل به صورت خط باقی می مانند، x_p و X_p به ترتیب، با L_p^i و L_p^i که خود معرف جهت و اندازه ی عضو i در سلول پایه ی اولیه و تغییر شکل یافته هستند، جایگزین می شوند. به علاوه، در مدل مورد بحث، جابجایی های موضعی ریزساختار در قالب درجات آزادی برای جابجایی رأس ها (ξ_p) در نظر گرفته می شوند، تا در نهایت، صورت بومی سازی شده ی رابطه ی ۹ در قالب این مدل به صورت رابطه ی ۱۰ در آید.

$$l_p^i = F_{pq}^{Macro} L_q^i + \xi_p \quad (10)$$

عبارت اول در طرف راست تساوی بالا شرایط مرزی RVE را مشخص می کند و عبارت دوم از حل مسئله ی مقدار مرزی تعریف شده بر روی RVE به دست می آید. توجه داشته باشید که در مرحله ی دوم، به علت تقارن موجود در مسئله، حل یک سلول پایه برای به دست آوردن پاسخ کل RVE کافی خواهد بود. اکنون، با استفاده از رابطه ی ۷ و در نظر داشتن این نکته که به علت تقارن نقطه یی سلول های مجاور، کار نیروهای خارجی در طول تغییر شکل ناهمسان سلول تغییر نمی کند، مسئله ی کمینه سازی انرژی پتانسیل کل به تعیین مقدار کمینه برای انرژی کرنشی کل سلول پایه



شکل ۸. به دست آوردن نمودار تنش - کرنش تک محوری جسم با استفاده از رفتار ساختاری ماده‌ی تشکیل دهنده‌ی آن.

این رابطه مقدار تنش همگن سازی شده در یک نقطه‌ی مادی از جسم بزرگ مقیاس را نشان می‌دهد. در حالت تغییر شکل تک محوری، تنش به دست آمده از این رابطه با پاسخ کلی جسم هم خوانی دارد؛ البته در قسمت بعد مشاهده می‌شود که این مطلب هنگامی که نمودار تنش - کرنش تک محوری در هر نقطه از جسم دچار تغییر تکرار شود، برقرار نخواهد بود. فوم‌های مورد بررسی در این پژوهش، نمونه‌ی این رفتار هستند.

۲.۳. استخراج رفتار تک محوری قطعه‌ی فوم

در این قسمت ابتدا نمودار تنش - کرنش تک محوری مربوط به قطعه‌ی فوم بر اساس رفتار همگن سازی شده ریزساختار آن (رابطه‌ی ۱۵) به دست خواهد آمد.^[۱۴] برای این منظور کرنش کلی جسم (λ) را بر اساس ارتفاع اولیه‌ی آن (H) و جابجایی نسبی تکیه‌گاه‌ها (ΔH) به صورت رابطه‌ی ۱۶ تعریف می‌کنیم:

$$\lambda = \frac{\Delta H}{H} \quad (16)$$

در این حالت، رفتار همگن سازی شده‌ی شکل ۸، کمینه سازی انرژی کرنشی جسم نتیجه می‌دهد: هنگامی که λ در محدوده‌ی (λ_L, λ_R) قرار گیرد، جسم تنش ثابت σ_p را تجربه می‌کند و دو ناحیه‌ی مجزا با کرنش‌های λ_L و λ_R در ارتفاع جسم قابل تشخیص خواهند بود. باید توجه داشت که مقدار هر یک از کمیت‌های λ_L و λ_R توسط برقراری شرط ارائه شده در رابطه‌ی ۱۷ محاسبه می‌شوند:

$$A_1 = A_2 \quad (17)$$

که در آن، کمیت‌های A_1 و A_2 ، در شکل ۸ نمایش داده شده‌اند. همچنین، برای حالتی که λ در خارج از محدوده‌ی (λ_L, λ_R) قرار گیرد، رابطه‌ی تنش و کرنش جسم مطابق رفتار همگن سازی شده ماده خواهد بود.

۴. اثر ایجاد نقص هندسی در ریزساختار فوم

در این قسمت ابتدا با استفاده از مدل همگن سازی مطرح شده در بخش قبلی،^[۱۵] رفتار تک محوری نمونه‌ی فوم سلول باز با ساختار منظم باز تولید می‌شود؛ سپس، با تحمیل نقص هندسی به این ریزساختار منظم، تغییرات در رفتار تک محوری فوم مورد بررسی قرار می‌گیرد. این تذکر لازم است که بررسی وابستگی رفتار تک محوری فوم به خصوصیات ماده‌ی تشکیل دهنده‌ی آن (در مقیاس ریز ساختار) موضوع

کاهش می‌یابد (رابطه‌ی ۱۱):

$$\frac{\partial U}{\partial \xi_p} = 0 \quad (11)$$

در این رابطه، U انرژی کرنشی کل سلول پایه است و شامل دو قسمت انرژی‌های محوری (U^N) و خمشی (U^M) است، که به ترتیب، از جمع انرژی محوری ناشی از تغییر طول اعضا U^N و انرژی خمشی ناشی از تغییر زاویه‌ی دوبه‌دوی آن‌ها U^M ناشی می‌شوند (رابطه‌ی ۱۲):

$$U = U^N + U^M = \sum_{i=1}^K (U^N)^i + \sum_{i=1}^K \sum_{j=i}^K (U^M)^{ij} \quad (12)$$

مقدار $(U^N)^i$ و $(U^M)^{ij}$ در رابطه‌ی ۱۲، با توجه به مرجع^[۱۵] انتخاب شده‌اند. اکنون، با برگشت به مسئله‌ی کمینه سازی مطرح شده در رابطه‌ی ۱۱ و مشتق‌گیری از U رابطه‌ی ۱۳ را خواهیم داشت:

$$\frac{\partial U}{\partial \xi_p} = - \sum_{i=1}^K f_p^i = 0 \quad (13)$$

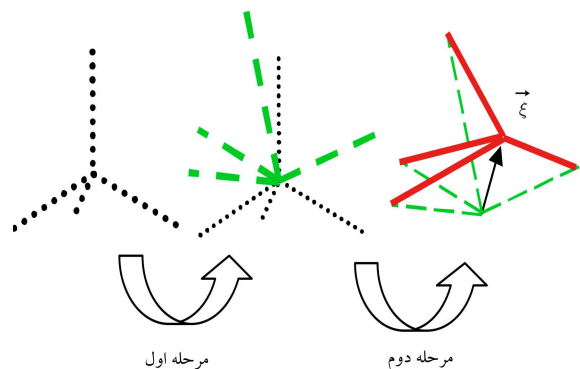
که در آن، f_p^i نیروی برآیند وارد بر انتهای عضو i ، در اثر تغییر شکل‌های محوری و خمشی را نشان می‌دهد. به این ترتیب، کمینه سازی انرژی کرنشی سلول پایه‌ی معادل با حل معادله‌ی غیرخطی ۱۳ است که مقدار جابجایی رأس سلول (ξ) را به دست می‌دهد. با تعیین ξ ، تغییر شکل کل ریزساختار در محدوده‌ی اطراف نقطه‌ی بزرگ مقیاس مشخص می‌شود (شکل ۷).

مرحله‌ی سوم همگن سازی در این روش با استفاده از رابطه‌ی ۸ انجام می‌پذیرد. در این راستا، باید توجه داشت که RVE برابر سلول پایه در نظر گرفته می‌شود، پس رابطه‌ی ۱۴ را خواهیم داشت:

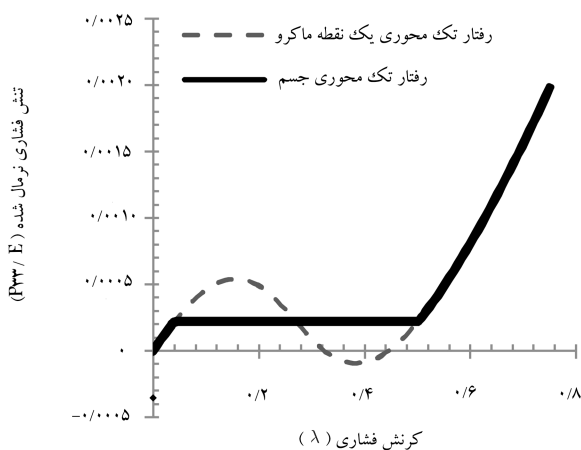
$$U^{Macro} = \frac{1}{V_{RVE}} \int \int \int_{V_{RVE}} u^{micro} dV = \frac{U^{Cell}}{V^{Cell}} \quad (14)$$

که در آن، U^{Cell} انرژی کرنشی کل سلول پایه است که پیش تر با رابطه‌ی ۱۲ بر حسب انرژی‌های خمشی و محوری اعضای سلول تعیین شده است. همچنین، V^{Cell} معرف حجم سلول پایه در حالت تغییر شکل نیافته است، که بر حسب هندسه‌ی سلول انتخاب می‌شود، ولی در هر صورت باید خاصیت افراز فضا را داشته باشد. اکنون با توجه به رابطه‌ی ۸، رابطه‌ی ۱۵ را داریم:

$$P_{rs}^{Macro} = P_{rs} = \frac{1}{V^{Cell}} \sum_{i=1}^K f_s^i L_r^i \quad (15)$$



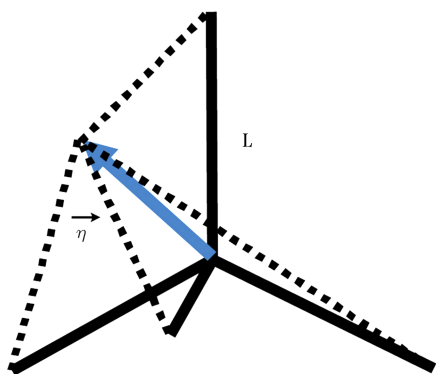
شکل ۷. نمای عمومی مراحل اول و دوم همگن سازی در مدل به کاررفته در این پژوهش.



شکل ۹. نمودار تنش-گرنش همگن‌سازی شده برای فوم با سلول پایه‌ی ۴ عضوی منظم.

جدول ۱. توصیف رفتار تک‌محوری جسم ماکروسکوپی ساخته شده از سلول پایه‌ی چهارعضوی منظم.

$\Delta \lambda$	λ_i	σ_p	E
۰٫۴۶۰۷	۰٫۰۴۰۵	۲٫۲۳۷۶ e-۴	۰٫۰۰۰۶۰



شکل ۱۰. نقص در هندسه‌ی ریزساختار در قالب انحراف در محل رأس سلول پایه، نسبت به حالت منظم سلول معرفی می‌شود (در اینجا برای وضوح بهتر، اندازه‌ی خروج از محوریت رأس بزرگ‌نمایی شده است).

ناقص از طریق ایجاد آشفتگی در محل رأس سلول پایه‌ی منظم (شکل ۵ ب) تولید می‌شوند. در این راستا، از نسبت آشفتگی γ به صورت رابطه‌ی ۲۱ استفاده می‌شود:

$$\gamma = \frac{\|\vec{\eta}\|}{L} \quad (21)$$

که در آن، $\|\vec{\eta}\|$ میزان انحراف در محل رأس سلول را مشخص می‌کند. همچنین، L طول اعضا در سلول پایه‌ی منظم (قبل از ایجاد آشفتگی) را نشان می‌دهد، که در اینجا به عنوان معیاری از اندازه‌ی سلول، مورد استفاده قرار گرفته است؛ این مقادیر در شکل ۱۰ مشخص شده‌اند.

با تعریف نسبت آشفتگی، اکنون باید روشی برای اعمال آن در نظر گرفته شود. به این منظور، از کره‌ی فرضی به شعاع R ، که مرکز آن در محل رأس سلول پایه منظم فرض می‌شود، استفاده می‌کنیم. برای اعمال نسبت آشفتگی $\gamma = R/L$ کافی است تا رأس سلول پایه بر روی سطح کره (به شعاع R) قرار گیرد. اما برای آنکه این کار از لحاظ محاسباتی عملی باشد، از تعداد محدودی نقطه، که به صورت

این پژوهش نیست؛ و از این رو در این قسمت از روابط ارائه شده^[۱۰] استفاده شده است.

۱.۴. سلول ۴ عضوی منظم

ساختار منظم مورد استفاده در این بخش از تکرار واحد سازنده‌ی یکسانی به نام سلول پایه به وجود آمده است. این سلول پایه منظم، به نوبه‌ی خود، از ۴ عضو با طول‌های مساوی (L) تشکیل شده است که زوایای برابر با یکدیگر می‌سازند:

$$\vec{L}^i = L\vec{e}^i \quad \text{for } i = 1, 2, 3, 4 \quad (18)$$

که در آن، \vec{e}^i بیانگر بردار یک‌ه‌ی عضو i است (رابطه‌ی ۱۹):

$$\begin{aligned} \vec{e}^1 &= \left\langle 0, \frac{2\sqrt{2}}{3}, -\frac{1}{3} \right\rangle \\ \vec{e}^2 &= \left\langle \frac{\sqrt{6}}{3}, -\frac{\sqrt{2}}{3}, -\frac{1}{3} \right\rangle \\ \vec{e}^3 &= \left\langle -\frac{\sqrt{6}}{3}, -\frac{\sqrt{2}}{3}, -\frac{1}{3} \right\rangle \\ \vec{e}^4 &= \langle 0, 0, 1 \rangle \end{aligned} \quad (19)$$

حجم سلول پایه از دو ۱۴ وجهی تشکیل شده است، که فقط یکی از آنها در برگرفته‌ی اعضاست (شکل ۵ ب).

اکنون، به منظور به دست آوردن رفتار تک‌محوری هر نقطه‌ی مادی از جسم از گرادیان تغییر شکل محوری به شکل رابطه‌ی ۲۰ استفاده می‌کنیم:

$$[F_{ij}^{Macro}]_{i \times j} = [F_{ij}]_{i \times j} = \begin{pmatrix} 1 & 0 & 0 \\ 0 & 1 & 0 \\ 0 & 0 & 1 - \lambda \end{pmatrix} \quad (20)$$

که در آن، λ در رابطه‌ی ۱۶ تعریف شده است و می‌تواند در بازه‌ی (۱ و ۰) تغییر کند. البته، در اینجا، برای اینکه از محدوده‌ی کاربرد این روش (یعنی ناحیه‌ی تغییر شکل خطی و ناحیه‌ی تنش ثابت فوم‌ها) خارج نشویم، مقدار بیشینه‌ی λ را به ۰٫۷ محدود کرده‌ایم. با استفاده از رابطه‌ی اخیر، در قالب رابطه‌ی همگن‌سازی به دست آمده در رابطه‌ی ۱۵، نمودار تنش-گرنش همگن‌سازی شده‌ی سلول ۴ عضوی منظم به صورت نشان داده در شکل ۹ به دست می‌آید (منحنی خط‌چین). توجه کنید که این نمودار در حقیقت رفتار یک نقطه‌ی مادی از جسم (تحت آزمایش تک‌محوری) را نمایش می‌دهد که ریزساختار آن از تکرار سلول پایه‌ی نشان داده شده در شکل ۵ ب به وجود آمده است.

حال اگر فرض کنیم نمودار تنش-گرنش همگن‌سازی شده‌ی به دست آمده در شکل ۹ بیانگر رابطه‌ی ساختاری یک نقطه از جسم باشد، رفتار تک‌محوری کل جسم با استفاده از مطالب مطرح شده در بخش ۳ به صورت منحنی (خط پر) نشان داده شده در شکل ۹ به دست می‌آید. کمیت‌های تک‌محوری مربوط به نمودار اخیر در جدول ۱ آورده شده‌اند. در قسمت بعد، اثر ایجاد نقص هندسی در سلول پایه‌ی ۴ عضوی، بر کمیت‌های تک‌محوری جدول مورد بررسی قرار می‌گیرند.

۲.۴. سلول ۴ عضوی دارای نقص هندسی

نقص هندسی نسبت به سلول منظم بخش ۱.۴. تعریف شده است، و در قالب تغییرات کوچک در محل رأس آن در نظر گرفته می‌شود. به عبارت دیگر، ریزساختارهای

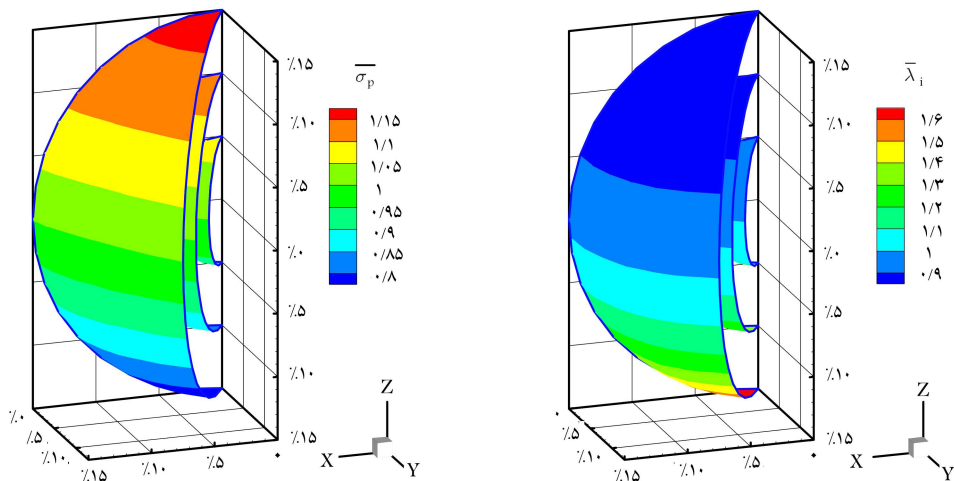
اما آنچه که در مورد این کمیت‌ها متفاوت است، تغییر آن‌ها با تغییر محل رأس در راستای محور z است: در حالی که $\bar{\lambda}_i$ روندی غیرخطی دارد، $\bar{\sigma}_p$ به صورت خطی تغییر پیدا می‌کند. روند تغییرات دو کمیت محوری دیگر یعنی \bar{E} و $\Delta\bar{\lambda}$ شباهت زیادی به $\bar{\sigma}_p$ دارد، از این رو، این کمیت‌ها در شکل ۱۱ آورده نشده‌اند. در ادامه، ابتدا به بررسی توصیفی اثر آشفستگی ریزساختار بر نمودار تنش-کرنش همگن‌سازی شده می‌پردازیم، و سپس، محدوده‌ی تغییر هر یک از کمیت‌های \bar{E} ، $\bar{\sigma}_p$ ، $\Delta\bar{\lambda}$ و $\bar{\lambda}_i$ را برای نسبت‌های آشفستگی مختلف مطالعه می‌کنیم. به منظور تحقق هدف اول از مجموعه‌ی ریزساختارهای ناقص، که با استفاده از نسبت آشفستگی ۵٪ ایجاد شده‌اند، استفاده می‌شوند. همچنین، از میان همه‌ی حالات ممکن وضعیت‌هایی در نظر گرفته می‌شوند، که بیشترین تغییرات را در نمودار تنش-کرنش همگن‌سازی شده ایجاد کنند. بر اساس آنچه که در شکل ۱۱ مشاهده کردیم، این حالت‌ها هنگامی رخ می‌دهند که انحراف رأس سلول در راستای محور z و عضو قائم اتفاق افتد (شکل ۱۲ الف).

اگر چه تغییر طول اعضا در تغییرات ایجادشده در نمودار تنش-کرنش مؤثر است، ولی بیشترین سهم در این حالات را می‌توان به افزایش و یا کاهش زاویه‌ی اعضای مایل با عضو قائم (α) نسبت داد. شکل ۱۲ ب نحوه‌ی انحراف نمودار تنش-کرنش از وضعیت مربوط به سلول پایه‌ی منظم (شکل ۵ ب) را نشان می‌دهد. توجه کنید که کاهش زاویه‌ی α سبب کاهش دامنه‌ی تغییرات نمودار در ناحیه‌ی تغییر تقعر می‌شود. با مشخص شدن محدوده‌ی تغییرات نمودار تنش-کرنش به ازای ایجاد آشفستگی ۵٪، حد بالا و پایین تغییرات برای هر یک از کمیت‌های \bar{E} ، $\bar{\sigma}_p$ ، $\Delta\bar{\lambda}$ و $\bar{\lambda}_i$ به دست می‌آید. حال اگر همین مسیر را برای نسبت‌های آشفستگی دیگر در بازه‌ی $(\frac{5}{100}, 0)$ تکرار کنیم، نمودارهای رسم شده در شکل ۱۳ حاصل می‌شوند. این نمودارها محدوده‌ی تغییرات هر یک از کمیت‌های \bar{E} ، $\bar{\sigma}_p$ ، $\Delta\bar{\lambda}$ و $\bar{\lambda}_i$ را در صورت ایجاد نقص هندسی در ریزساختار نمایش می‌دهند. شکل ۱۳ نشان می‌دهد که با افزایش آشفستگی در شکل ریزساختار حد بالا یا پایین خواص مکانیکی تک‌محوری فوم به صورت خطی با آشفستگی تغییر می‌یابد. اما برای بررسی دقیق‌تر ماهیت این تغییرات لازم است تا از روش‌های انطباق داده استفاده کنیم. به این منظور، مجموعه‌ی

متوازن بر روی سطح کره توزیع شده‌اند، استفاده می‌شود. با تکرار این روش برای کره با شعاع‌های مختلف می‌توان تمامی حالات محتمل برای انحراف رأس سلول در فضا را در نظر گرفت. البته برای آنکه توزیع نقاط علاوه بر سطح، در فضا نیز یکنواخت باشد؛ لازم است تا تعداد نقاط انتخابی بر روی سطح هر کره با فاصله‌گرفتن از مرکز، متناسب با R^2 افزایش یابد. با مشخص شدن وضعیت هندسی سلول‌های دارای نقص، مقادیر E ، σ_p ، $\Delta\lambda$ و λ_i به روش مطرح شده در بخش ۳ برای هر حالت به صورت جداگانه محاسبه می‌شوند. از مقایسه‌ی مقادیر به دست آمده با کمیت‌های متناظر، که پیش‌تر برای سلول پایه‌ی منظم (جدول ۱) به دست آمده بودند، می‌توان تغییرات ایجادشده در رفتار تک‌محوری فوم را به ازای اعمال آشفستگی‌های مختلف در محل رأس سلول پایه‌ی آن مورد بررسی قرار داد.

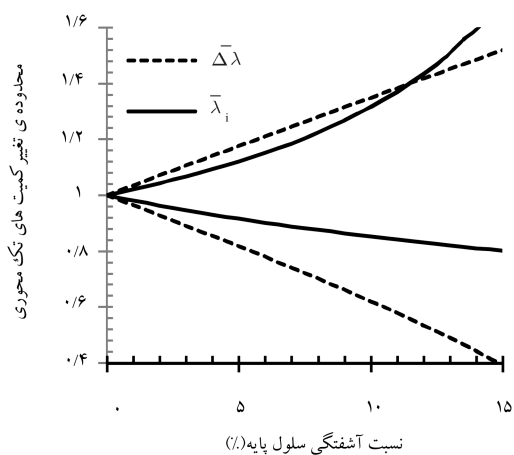
در ادامه، برای درک بهتر روند این تغییرات، کمیت‌های \bar{E} ، $\bar{\sigma}_p$ ، $\Delta\bar{\lambda}$ و $\bar{\lambda}_i$ معرفی شده‌اند، که به ترتیب از تقسیم کمیت‌های E ، σ_p ، $\Delta\lambda$ و λ_i در سلول پایه‌ی آشفسته، بر مقدار متناظرشان در سلول پایه‌ی منظم (جدول ۱)، محاسبه می‌شوند. در این میان لازم است به این نکته توجه شود که شرط تکراری بودن ریز ساختار الزام می‌کند که آشفستگی در همه‌ی رأس‌های ساختار سلولی به صورت یکسان اتفاق افتد؛ در ادامه، به بررسی اثر این آشفستگی‌ها می‌پردازیم.

در این پژوهش، نسبت آشفستگی به مقدار ۱۵٪ محدود شده است. همچنین به علت تقارن سلول نسبت به محور بارگذاری (محور z) انحراف رأس سلول فقط بر روی $\frac{1}{2}$ از سطح کره‌های مورد بحث در نظر گرفته شده است. برای شروع مقدار کمیت‌های \bar{E} ، $\bar{\sigma}_p$ ، $\Delta\bar{\lambda}$ و $\bar{\lambda}_i$ برای نسبت‌های مختلف آشفستگی و حالات مختلف انحراف رأس سلول محاسبه و بر روی نقاط متناظر خود بر روی سطح کره مشخص شده‌اند. شکل ۱۱، نحوه‌ی تغییر این کمیت‌ها را نشان می‌دهد. همان‌طور که در شکل ۱۱ مشاهده می‌شود، مقادیر بیشینه (یا کمینه) $\bar{\lambda}_i$ و $\bar{\sigma}_p$ در قطب کره‌ها رخ می‌دهند. به عبارت دیگر، هنگامی که انحراف رأس سلول در راستای عضو شماره‌ی ۴ (در راستای بارگذاری) اعمال می‌شود، نمودار تنش-کرنش قطعه‌ی فوم بیشترین تغییرات را نشان می‌دهد. به علاوه هر دو کمیت $\bar{\lambda}_i$ و $\bar{\sigma}_p$ در این مورد مشترک‌اند که با جابجایی رأس سلول در تراز یکسان از محور z ، تقریباً ثابت باقی می‌مانند.

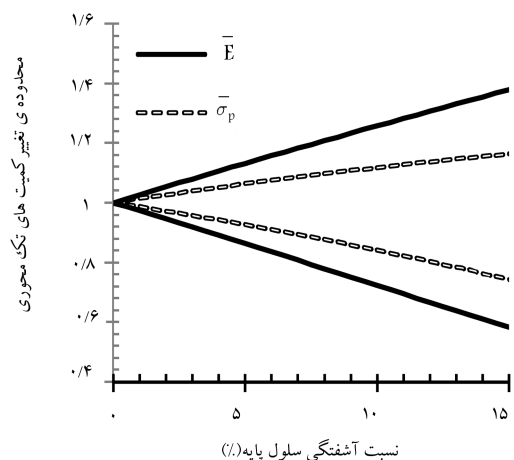


الف) کرنش آغازین ناحیه‌ی تنش ثابت در نمودار رفتار تک‌محوری؛ ب) مقدار تنش در این ناحیه، برای نسبت‌های آشفستگی ۵، ۱۰ و ۱۵٪.

شکل ۱۱. اثر ایجاد آشفستگی هندسی در ریزساختار فوم بر نمودار تنش-کرنش تک‌محوری آن. آشفستگی از طریق انحراف رأس از محل اولیه‌ی خود در سلول پایه‌ی منظم، و قراردادن آن بر روی سطح کره‌هایی با شعاع‌های مختلف ایجاد می‌شود. هر کره مشخص‌کننده‌ی یک نسبت آشفستگی است و با افزایش شعاع کره‌ها نسبت آشفستگی افزایش می‌یابد (مقادیر نشان داده‌شده در نمودار نسبت به کمیت‌های متناظر خود از جدول ۱ تعدیل شده‌اند).



الف) حد بالا و پایین مقادیر به دست آمده برای $\bar{\lambda}_i$ و $\Delta\lambda$ ؛



ب) \bar{E} ، $\bar{\sigma}_p$ ؛

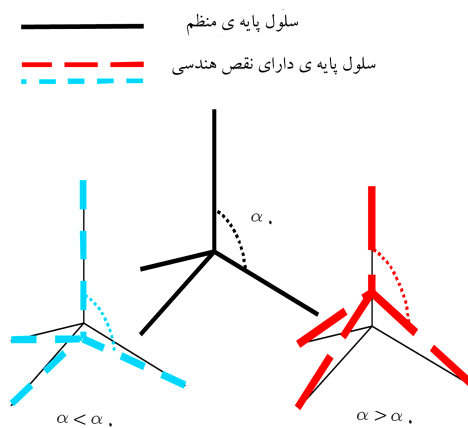
شکل ۱۳. بیشینه‌ی تغییرات به وجود آمده در کمیت‌های تک‌محوری (نسبت به سلول پایه‌ی منظم) در اثر ایجاد آشفتنگی در هندسه‌ی ریزساختار.

جدول ۲. توصیف رفتار تک‌محوری ساخته‌شده از سلول پایه‌ی ۴ عضوی منظم.

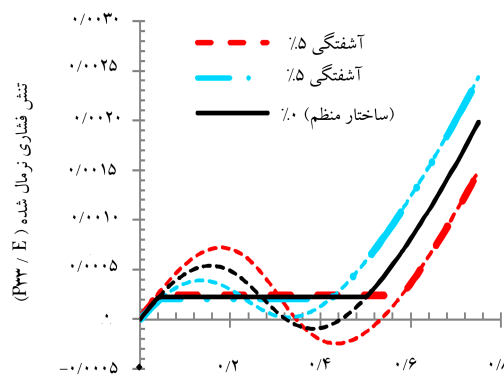
حد پایین		حد بالا		
n	C	n	C	
۱۷۰۱۴	-۰٫۰۲۷	۰۹۶۱	۰٫۰۲۸	\bar{E}
۱۷۱۵۳	-۰٫۰۱۱	۰۱۸۶۷	۰٫۰۱۶	$\bar{\sigma}_p$
۰۷۷۹۹	-۰٫۰۲۳	۱۷۸۱۱	۰٫۰۰۵	$\bar{\lambda}_i$
۱۷۶	-۰٫۰۳۰	۰۷۹۸۳	۰٫۰۳۶	$\Delta\lambda$

۵. نتیجه‌گیری

در این پژوهش، اثر نقص در هندسه‌ی ریزساختار فوم (سلول باز) بر رفتار تک‌محوری آن بررسی شد. به این منظور، مدل همگن‌سازی ارائه‌شده [۱۰] مورد استفاده قرار گرفت. این مدل، ساختاری متناوب برای فوم فرض می‌کند که از تکرار یک واحد سازنده‌ی یکسان به نام سلول پایه تشکیل شده است. نقص در هندسه‌ی ریزساختار از طریق ایجاد آشفتنگی (جابجایی کوچک) در محل رأس سلول پایه‌ی آن اعمال می‌شود.



الف) نمای عمومی آشفتنگی‌هایی که سبب بیشترین تغییرات در کمیت‌های تک‌محوری می‌شوند؛



گ) کرنش فشاری (λ)

ب) نمودار تنش - کرنش متناظر با این وضعیت‌ها برای آشفتنگی ۵٪.

شکل ۱۲. بررسی توصیفی اثر آشفتنگی هندسی بر نمودار تنش - کرنش تک‌محوری.

توابع به صورت رابطه‌ی ۲۲ انتخاب می‌شوند:

$$y = Cx^n + 1 \quad (22)$$

در این رابطه، اگر به جای x نسبت‌های آشفتنگی مختلف نشان داده‌شده در شکل ۱۳ جایگزین شوند، ضرایب ثابت C و n طوری به دست می‌آیند که y کمترین فاصله را از کمیت‌های \bar{E} ، $\bar{\sigma}_p$ ، $\bar{\lambda}_i$ و $\Delta\lambda$ داشته باشد. این کار از طریق حل معادله‌ی غیرخطی کمترین مربعات انجام می‌شود. واضح است که به دست آوردن مقادیر ۱، ۲ و ... برای n ، ماهیت خطی، مرتبه‌ی دو، و یا بالاتر تغییرات را نشان خواهد داد. جدول ۲ نتایج تطبیق داده‌ها را برای نمودارهای رسم‌شده در شکل ۱۳ نشان می‌دهد.

با دقت در اعداد نشان داده‌شده در جدول ۲ برای n می‌توان دریافت که حد بالا و پایین به دست آمده برای کمیت‌های \bar{E} ، $\bar{\sigma}_p$ ، $\bar{\lambda}_i$ و همچنین حد پایین محاسبه‌شده برای $\bar{\lambda}_i$ خطی (و یا شبه‌خطی) در تغییرات با آشفتنگی نشان می‌دهند. این در حالی است که حد بالای $\bar{\lambda}_i$ به صورت تابع مرتبه‌ی دو با آشفتنگی افزایش پیدا می‌کند.

در ناحیه‌ی ارتجاعی (مدول یانگ)، مقدار تنش ثابت (تنش تسلیم) و طول ناحیه‌ی تنش ثابت، روندی خطی (و یا شبه‌خطی) در تغییرات با آشفستگی نشان می‌دهند.

- این در حالی است که حد بالای دیگر کمیت تک‌محوری یعنی کرنش آغازین ناحیه‌ی تنش ثابت (کرنش تسلیم) به صورت تابع مرتبه‌ی دو با آشفستگی افزایش پیدا می‌کند.

به علاوه، بررسی‌ها مشخص کرد که بیشترین تغییرات در کمیت‌های مورد بحث برای حالتی پدید می‌آیند که آشفستگی رأس سلول در راستای محور تقارن آن اتفاق افتد.

به این ترتیب، نمودار تنش-کرنش برای سلول پایه‌های دارای نقص هندسی با استفاده از روش همگن‌سازی محاسبه، و نتایج حاصل در قالب کمیت‌های تک‌محوری فوم (مانند مدول یانگ، طول ناحیه‌ی تنش ثابت، مقدار تنش ثابت، و کرنش آغازین این ناحیه) ارائه شد. در ادامه، با مقایسه‌ی کمیت‌های حاصل با آنچه پیش‌تر برای سلول پایه‌ی منظم به دست آمده بود،^[۱۰] نحوه‌ی تغییر نمودار تنش-کرنش تک‌محوری با افزایش میزان آشفستگی در هندسه‌ی سلول پایه، به صورت کمی و کیفی بررسی شد. در این راستا نتایج نشان داد که:

- حد بالا و پایین به دست آمده برای کمیت‌های تک‌محوری نظیر شیب اولیه‌ی نمودار

پانوشته‌ها

1. homogenization
2. basic-cell (or unit-cell)
3. representative volume element (RVE)

منابع (References)

1. Ashby, M.F. and et al., *Metal Foams: A Design Guide*, 1st Edition, Oxford, UK, Butterworth-Heinemann (2000).
2. Geers, M.G.D., Kouznetsova, V.G. and Brekelmans, W.A.M. "Multi-scale computational homogenization: Trends and challenges", *Journal of Computational and Applied Mathematics*, **234**(7), pp. 2175-2182 (2010).
3. Hohe, J. and Becker, W. "Effective mechanical behavior of hyperelastic honeycombs and two-dimensional model foams at finite strain", *International Journal of Mechanical Sciences*, **45**(5), pp. 891-913 (2003).
4. Demiray, S., Becker, W. and Hohe, J. "Analysis of two- and three-dimensional hyperelastic model foams under complex loading conditions", *Mechanics of Materials*, **38**(11), pp. 985-1000 (2006).
5. Takahashi, Y., Okumura, D. and Ohno, N. "Yield and buckling behavior of Kelvin open-cell foams subjected to uniaxial compression", *International Journal of Mechanical Sciences*, **52**(2), pp. 377-385 (2010).
6. Plateau, J.A.F., *Statique Experimentale Et Théorique Des Liquides Soumis Aux Seules Forces Moleculaires*, 1st Edition. Paris, Gauthier-Villiarid (1873).
7. Hardenacke, V. and Hohe, J. "Local probabilistic homogenization of two-dimensional model foams accounting for micro structural disorder", *International Journal of Solids and Structures*, **46**(5), pp. 989-100 (2009).
8. Hård af Segerstad, P., Larsson, R. and Toll, S. "A constitutive equation for open-cell cellular solids, including viscoplasticity, damage and deformation induced anisotropy", *International Journal of Plasticity*, **24**(5), pp. 896-914 (2008).
9. Hård af Segerstad, P. and Toll, S. "Open-cell cellular solids: A constitutive equation for hyperelasticity with deformation induced anisotropy", *International Journal of Solids and Structures*, **45**(7-8), pp. 1978-1992 (2008).
10. Wang, Y. and Cuitiño, A.M. "Three-dimensional non-linear open-cell foams with large deformations", *Journal of the Mechanics and Physics of Solids*, **48**(5), pp. 961-988 (2000).
11. Romero, P.A., Zhang, S.F. and Cuitiño, A.M. "Modeling the dynamic response of visco-elastic open-cell foams", *Journal of the Mechanics and Physics of Solids*, **56**(5), pp. 1916-1943 (2008).
12. Romero, P.A., Soboyejo, W.O. and Cuitiño, A.M. "Modeling of dynamically loaded open-cell metallic foams: Yielding, collapse, and strain rate effects", *ASME Journal of Applied Mechanics*, **77**(3), pp. 1-8 (2010).
13. Gitman, I.M., Askes, H. and Sluys, L.J. "Coupled-volume multi-scale modelling of quasi-brittle material", *European Journal of Mechanics A/Solids*, **27**(3), pp. 302-327 (2008).
14. Ericksen, J.L., *Introduction to the Thermodynamics of Solids*, Revised Edition, New York, Springer-Verlag New York, Inc. (1998).